

## НИЗКОЧАСТОТНОЕ КОМБИНАЦИОННОЕ РАССЕЯНИЕ СВЕТА НА ПОЛУПРОВОДНИКОВЫХ ЧАСТИЦАХ МАЛОГО РАЗМЕРА

*Н.Н. Овсяк, Е.Б. Горохов, В.В. Грищенко, А.П. Шебанин*

Исследованы спектры комбинационного рассеяния (КР) света на микрокристаллах германия, диспергированных в прозрачной диэлектрической матрице двуокиси германия. Впервые в полупроводниковых микрокристаллах в спектре КР обнаружен низкочастотный пик, обусловленный их собственными акустическими колебаниями.

Недавно в работах <sup>1–4</sup> было показано, что полупроводниковые микрокристаллы CuCl и CdS, которые удалось вырастить в объеме прозрачной диэлектрической матрицы стекла, представляют собой уникальный класс объектов для исследования размерных эффектов оптическими методами. В настоящей статье сообщается о способе получения новой гетерофазной системы, состоящей из микрокристаллов Ge внутри аморфного прозрачного диэлектрика GeO<sub>2</sub>. На этой системе впервые обнаружены низкочастотные пики в спектре КР, обусловленные акустическими колебаниями, локализованными на микрочастицах, и установлено существование двух типов колебательных мод: сферической и крутильной.

Образцы синтезировали с использованием реакции диспропорционирования 2GeO → Ge + GeO<sub>2</sub> в потоке гелия при температурах синтеза  $T_s$  от 300 до 550°C; в результате получалась гетерофазная пленка, в которой кристаллы Ge диспергированы в объеме аморфной диэлектрической матрицы GeO<sub>2</sub>, мольное соотношение Ge : GeO<sub>2</sub> равно 1 : 1. Условия синтеза позволяли управлять размерами микрокристаллов. Кристалличность частиц и их распределение по матрице контролировались с помощью просвечивающей электронной микроскопии и дифракции электронов.

Спектры КР записывали на двойном спектрометре "Ramanor U-1000" при комнатной температуре в геометрии  $90^\circ$  рассеяния с линиями  $5145$  и  $6471$  Å Ar<sup>+</sup>- и Kr<sup>+</sup>-лазеров.

Рассмотрим сначала спектры КР на оптических фонах в зависимости от средних размеров микрокристаллов  $\bar{d}$  в диапазоне от  $70$  до  $300$  Å на рис. 1. Они различаются вкладом низкочастотного плеча, которое увеличивается с уменьшением размера частиц. Подобные спектры КР на микрокристаллах Ge и Si, напыленных на стекло, ранее наблюдали в работе <sup>5</sup>. Авторы отметили тот факт, что по спектрам КР частицы порядка  $100$  Å являются аморфными (как и в нашем случае), в то время как высокоразрешающая электронная микроскопия показала кристалличность их структуры. В связи с этим пока остается неясным, что дает преимущественный вклад в уширенные спектры КР на оптических фонах — поверхность микрокристаллов или их аморфная компонента.

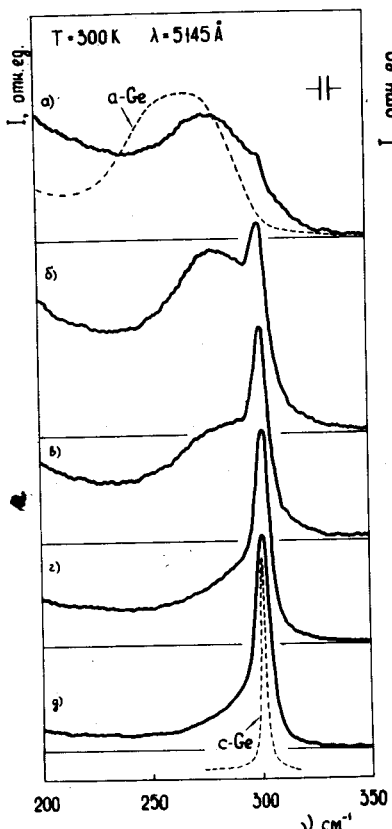


Рис. 1. Спектры КР на оптических фонах микрокристаллов Ge. Параметры — средний размер микрокристаллов  $\bar{d}$  и температура синтеза  $T_s$ : а)  $70\text{ \AA}$ ,  $300^\circ\text{C}$ ; б)  $100\text{ \AA}$ ,  $350^\circ\text{C}$ ; в)  $150\text{ \AA}$ ,  $400^\circ\text{C}$ ; г)  $200\text{ \AA}$ ,  $450^\circ\text{C}$ ; д)  $240\text{ \AA}$ ,  $480^\circ\text{C}$ ; подложка — сапфир. Пунктиром для сравнения приведены спектры КР объемного кристаллического и аморфного Ge

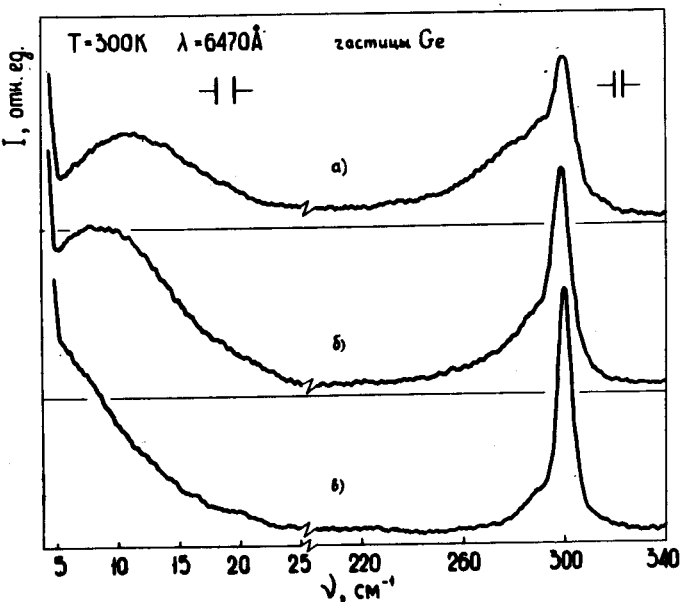


Рис. 2. Спектры КР на собственных акустических колебаниях микрокристаллов Ge и на их оптических фонах. Параметры  $\bar{d}$ ,  $T_s$ : а)  $80\text{ \AA}$ ,  $320^\circ\text{C}$ ; б)  $110\text{ \AA}$ ,  $360^\circ\text{C}$ ; в)  $300\text{ \AA}$ ,  $500^\circ\text{C}$ ; подложка — кремний

Перейдем к низкочастотным спектрам КР, приведенным на рис. 2 вместе со спектрами КР на оптических фонах микрокристаллов. Следует отметить, что поглощающие частицы Ge обладают повышенным диффузным рассеянием, в связи с чем регистрация низкочастотных спектров, расположенных вблизи возбуждающей линии, требует использования качественных голограммических решеток и узких диафрагмированных спектральных щелей. Из рис. 2 видно, что при уменьшении размеров микрочастиц максимум низкочастотного пика сдвигается к более высоким частотам, что находится в согласии с выражением  $\nu \approx v/c d$

для частоты колебаний малых сферических частиц <sup>6</sup>, где  $v$  – скорость звука,  $d$  – размер частицы и  $c$  – скорость света.

Различают два типа колебаний частиц: сферические и крутые, причем экспериментально установлено <sup>7</sup>, что только их низкоэнергетические моды являются активными в  $KP$ . Для их обнаружения необходимы поляризационные измерения, так как сферические колебания дают поляризованное рассеяние, а крутые – деполяризованное. Значения частот указанных мод в максимуме соответственно равны  $\nu_{max}^S = 0,7v_l/dc$  и  $\nu_{max}^T = 0,85v_t/dc$ , где  $v_l$  и  $v_t$  – продольная и поперечная скорости звука в микрокристалле. На рис. 3 приведены спектры КР одного образца с разными поляризациями ( $\perp \perp$ ) и ( $\parallel \perp$ ), когда вектор поля возбуждающей волны перпендикулярен или параллелен плоскости рассеяния, а рассеянный – в обоих случаях перпендикулярен ей. Максимум низкочастотного пика при поляризованном рассеянии ( $\perp \perp$ ) сдвигнут к более высоким частотам от максимума при деполяризованном рассеянии ( $\parallel \perp$ ), что непосредственно свидетельствует о существовании двух мод колебаний в этих микрокристаллах. Подставим в формулы для частот  $\nu_{max}^S$  и  $\nu_{max}^T$  экспериментальные величины  $\nu_{max}$  из спектров на рис. 3 для поляризованного и деполяризованного рассеяния, тогда их отношение окажется равным  $v_l/v_t = 1,67 \pm 0,01$ . Отношение же усредненных по трем направлениям в Ge скоростей звука  $v_l = 5,25 \cdot 10^5$  см/с и  $v_t = -3,25 \cdot 10^5$  см/с равно 1,62. Предположительно это различие может быть обусловлено отклонением формы частиц от сферической.

Таким образом, низкочастотный спектр КР несет информацию о типах акустических колебательных мод, о размере и форме микрокристаллов.

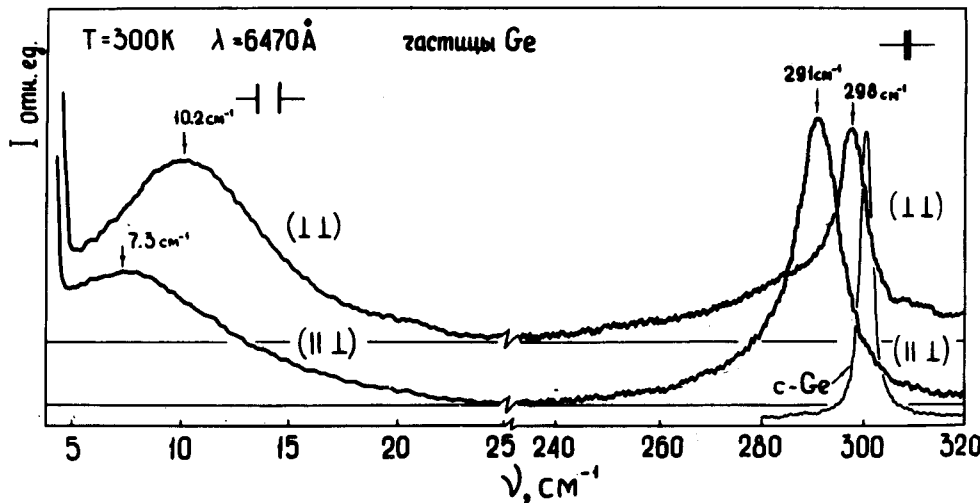


Рис. 3. Поляризационная зависимость спектров КР микрокристаллов Ge,  $d = 130 \text{ \AA}$ ,  $T_g = 380^\circ\text{C}$ ; подложка – плавленный кварц. Для сравнения приведен спектр КР на смешанном LO – TO-фононе в кристаллическом Ge

В заключение обсудим сдвиг при изменении поляризации спектра КР на оптических фонах, показанный на рис. 3. В работе <sup>8</sup> было установлено, что из-за релаксации силовых постоянных межатомного взаимодействия вблизи реальной поверхности Ge существует поверхностный оптический фонон, связанный только с продольными колебаниями, сдвинутый относительно объемного LO-фона примерно на  $3 \text{ cm}^{-1}$ . Можно ожидать, что наличие на поверхности микрокристаллов тонкого аморфизованного слоя должно приводить к большему сдвигу поверхностного LO-фона при неизменном положении объемного смешанного LO – TO-фона, причем в микрокристаллах амплитуды вкладов в КР поверхностного и

объемного  $LO$ -фононов могут быть сравнимы. Однако в этом случае мы должны были бы наблюдать одновременное появление двух пиков для каждой поляризации, поскольку кристаллы в матрице разориентированы и исследуемую систему можно считать в среднем изотропной. Эксперимент же показал существование только одного пика, положение которого зависит от поляризации. В связи с этим можно предположить, что в системе разориентированных микрокристаллов существует механизм выделения  $LO$ - и  $TO$ -фононов в зависимости от поляризации, однако это явление требует дальнейших теоретических и экспериментальных исследований.

#### Литература

1. Екимов А.И., Онущенко А.А. Письма в ЖЭТФ, 1981, **34**, 363.
2. Екимов А.И., Онущенко А.А. Письма в ЖЭТФ, 1984, **40**, 337.
3. Екимов А.И., Онущенко А.А., Плюхин А.Г., Эфрос Ал.Л. ЖЭТФ, 1985, **88**, 1490.
4. Екимов А.И., Онущенко А.А., Эфрос Ал.Л. Письма в ЖЭТФ, 1986, **43**, 292.
5. Hayashi S., Abe H. J. Appl. Phys. Jap. 1984, **23**, 824.
6. Tamura A., Ichinokawa T. J. Phys. C, 1983, **16**, 4779.
7. Duval E., Boukenter A., Champagnon B. Phys. Rev. Lett., 1986, **56**, 2052.
8. Гайслер В.А., Неизвестный И.Г., Синюков М.П., Талочкин А.Б. Письма в ЖЭТФ, 1987, **45**, 347.
9. Bermejo D., Cardona M. J. Non-Cryst. Solids, 1979, **32**, 405.

Институт геологии и геофизики им. 60-летия СССР  
Академии наук СССР

Поступила в редакцию  
24 декабря 1987 г.